

て生じた橋桁の1次自由振動成分が最大になる近似的な位相条件

$$\frac{\omega_1}{\ell} = \frac{v \psi_1}{\ell f_{q1}^*} + \left(\frac{\omega_{1p1} + \omega_{1p2}}{2\ell} \text{ 又は } \frac{\omega_{1p3} + \omega_{1p4}}{2\ell} \right); \quad \psi_1 = 1 \quad (7)$$

を斜線で表わした。ただし、 f_{q1}^* は車両載荷時の橋桁の平均1次振動数である。図-3 Bより ψ_{dy} の最大値は(7)式の条件に沿って生じ、特に斜線の交点の近傍では前後の台車が橋桁に進入することによって生じた自由振動成分がそれぞれ最大値で重なるため、衝撃係数はピークになっている。このことは他の橋桁についても言えることであって、衝撃係数が変化の様子を良く説明している。図-4に不等径間連続桁(30+20=50m)の各径間中央の衝撃係数を示す。この図より長径間中央の衝撃係数の方が短径間のその値より一般的に大きくなっていること、長径間中央では車両が長径間側より進入する場合の方が衝撃係数が大きいことが見られる。図-5は30m径間中央の衝撃係数を示したもので、 $\alpha = v / (2\ell f_{q1}^*) \leq 0.3$ で各橋桁の衝撃係数が良く一致し、 $I_y < \alpha$ であることがわかる。ただし $\ell^* = 30m$ 。次に変位の動的変動幅が静的変動幅よりどれ程大きくなるかを図-6に示す。横軸 $\alpha = v / (2\ell f_{q1}^*)$ の ℓ は連続桁の場合橋長 ℓ 、単純桁の場合 $\ell/2$ とする。この図より、変位の増加率の起伏について似た傾向が見られるが、単純桁の値は連続桁の値よりかなり大きくなっている。

車両の走行安全性を検討する尺度として、輪重減少率を考える。輪重減少率の限界値を25%とすると、このシミュレーションで得られた結果(図-7)は十分安全側を示している。最後に乗心地について述べる。JANEWAYの乗心地限度を準用し、車体の応答加速速度の振動数を $f = v(m/sec) / \ell^*(m)$; $\ell^* = 30m$ で近似すると、単純桁で $v > 320 km/h$ の場合、乗心地係数1より悪くなる。(図-8)

参考文献 松浦章夫 「高速鉄道における橋桁の動的挙動に関する研究」 土木学会論文報告集 No.256 1976年12月

表-1 橋桁の諸元

橋桁の種類	単純桁		不等径間連続桁	
	全長	径間	全長	径間
全長 l (m)	30	6.0	5.5	5.0
径間長 l ₁ (m)	—	3.0	2.5	2.0
スパン比 1/30	—	1/11	5/6	2/3
動時間係数 E (kg/cm ²)	8.4 × 10 ⁸			
全重量 W (ton)	4.0	8.0	73.3	66.7
静載重 W ₁ (kg)	1.33	1.33	1.33	1.33
添尺定数 h	0.02	0.02	0.02	0.02
振動数 f (1/秒)	4.32	4.32	4.90	5.26
1次	17.0	6.74	4.89	12.0
3次	37.6	17.1	18.8	19.9
4次	—	21.6	27.8	37.6
固有振動数の下限値 f ₁ (1/秒)	4.08	4.14	4.65	4.95
乗心地係数 I _y	1.286	1.248	1.195	1.116
乗心地係数 I _z	1.248	0.638	0.337	0.147
乗心地係数 I _w	1.286	1.813	1.526	1.344
乗心地係数 I _z	—	1.813	1.067	0.639

表-2 車両の諸元

m _g	36000 kg
kg/l ₁	36000 kg
m _g	3800 kg
kg/l ₂	3800 kg
k ₁	900 kg/cm
k ₂	2600 kg/cm
c ₁	44 kg sec/cm
c ₂	40 kg sec/cm
m _g	950 kg
l ₁	2500 cm
2l ₂	1750 cm
2l _w	250 cm

図-2

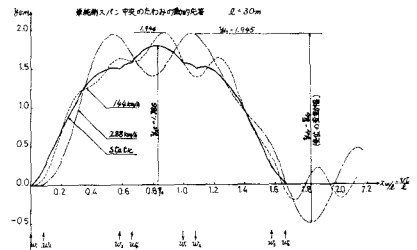


図-4

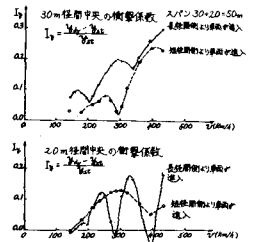


図-7

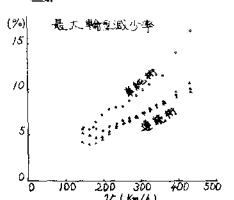


図-8

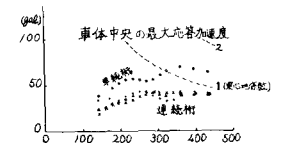


図-5

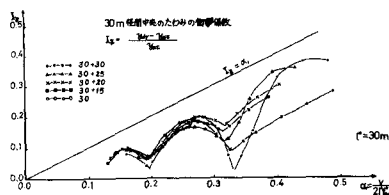


図-6

